



رفتار لردهای پایه پل‌های بتُنی پیش‌ساخته مرکزگرا

میلاد سام دلیری^۱، حسین یوسفپور^{۲*}، حر خسروی^۳

۱- کارشناس ارشد مهندسی عمران-سازه، دانشکده مهندسی عمران، دانشگاه صنعتی نوشیروانی بابل، ایران

۲- استادیار، دانشکده مهندسی عمران، دانشگاه صنعتی نوشیروانی بابل، ایران

۳- دانشیار، دانشکده مهندسی عمران، دانشگاه صنعتی نوشیروانی بابل، ایران

* hyousefpour@nit.ac.ir

تاریخ پذیرش ۱۴۰۱/۰۹/۲۰

تاریخ دریافت ۱۴۰۰/۰۹/۲۰

چکیده

امروزه برای کاهش آثار منفی ساخت پل‌ها در ترافیک شهری، به صورت فزاینده‌ای از روش‌های ساخت سریع پل استفاده می‌شود. یک روش برای ساخت سریع پل، پیش‌ساخته نمودن قطعات یا بخش‌هایی از کل پل است. در صورت کاربرد موثر پیش‌تینیدگی در این قطعات، قابلیت مرکزگرایی و امکان بازگشت آن‌ها پس از زلزله به موقعیت اولیه وجود خواهد داشت که منجر به کاهش قابل توجه خسارت و هزینه تعمیرات پس از زلزله می‌شود. هدف از مطالعه حاضر، بررسی رفتار لردهای پایه پل‌های بتُنی پیش‌ساخته مرکزگرا است که در آن‌ها از تاندون‌های پس‌کشیده غیرپیوسته به منظور مرکزگرایی و از فولاد نرمه برای اتلاف انرژی زلزله استفاده می‌شود. یک مدل عددی دو بعدی برای شبیه‌سازی رفتار پایه‌های مزبور در محیط نرم‌افزار OpenSees ساخته شد. به منظور مطالعه پارامتری عوامل موثر بر پل‌های بتُنی با پایه‌های پیش‌ساخته مرکزگرا، مجموعه‌ای مشکل از ۹ پایه سگمنتی با درصدهای مختلف نیروی پیش‌تینیدگی و فولاد نرمه با مقاومت خمی اسمی یکسان طراحی شدند. این ۹ طرح تحت بارگذاری‌های مونوتونیک، چرخه‌ای، و دینامیکی تاریخچه زمانی قرار داده شده و رفتار لردهای آن‌ها مطالعه شد. نتایج نشان داد که افزایش نسبت نیروی پیش‌تینیدگی به مساحت مقطع بتُنی تا حدی مشخص می‌تواند موجب بهبود رفتار سازه شود. با این وجود، بعد از این حد، رفتار سازه به طور نامطلوبی تحت اثر نیروی پیش‌تینیدگی قرار می‌گیرد. بر اساس تحلیل‌های چرخه‌ای و دینامیکی مدل‌های بررسی شده در این مطالعه، نسبت بهینه نیروی پیش‌تینیدگی به مقاومت سطح مقطع بتُنی حدود ۰/۱ تا ۰/۱۵ ارزیابی شد. یافته‌های مطالعه حاضر می‌تواند برای طراحی پل‌های بتُنی اعضا در مناطق با لردهای خیزی بالا مفید واقع شود.

واژگان کلیدی: ساخت سریع پل، پل‌های بتُنی، پایه پل، پیش‌ساخته، مرکزگرا.

۱- مقدمه

قطعات بیشتر در کارخانه یا کارگاه‌های پیش ساخته‌سازی و مونتاژ آن‌ها در محل انجام می‌شود. این فرایند، زمان ساخت در محل را به شدت کاهش می‌دهد و کیفیت و ایمنی ساخت را بهبود می‌بخشد. به دلیل نیاز به تعمیر و نگهداری پل‌های در دست بهره‌برداری، امروزه در مناطق مختلف دنیا روش‌های ساخت سریع پل^۱ مورد تقاضای روزافزون قرار گرفته‌اند. یک روش برای ساخت سریع پل، پیش‌ساختن قطعات یا بخش‌هایی از کل پل است. تولید این

نرمه، رفتار هیسترزیس^۳ سیستم‌های مرکزگرا، فرمی پرچمی شکل^۴ خواهد داشت. با کاربرد پسکشیدگی و ایجاد قابلیت مرکزگرایی در پایه‌های پیش‌ساخته، می‌توان نگرانی‌ها در خصوص عملکرد لرزه‌ای این اعضا را کاهش داد [1].

در دو دهه اخیر، مطالعات آزمایشگاهی و عددی قابل توجهی روی ستون‌ها و پایه‌های مرکزگرا انجام شده است. در سال ۲۰۰۲، هیوس و همکاران^۵ طراحی و عملکرد لرزه‌ای پایه‌های پل پیش‌ساخته بتنی با تاندون‌های پسکشیده منفصل^۶ را به صورت آزمایشگاهی بررسی کردند. دو پایه با نسبت ابعادی بالا و دو پایه با نسبت ابعادی پایین تحت بارگذاری لرزه‌ای جانبی مورد آزمایش قرار گرفتند. نمونه‌های آزمایش همه دارای مقدار مشابه فولاد پیش‌تینیده بودند و هر کدام در دو سطح پیش‌تینیدگی بررسی شدند. تمامی نمونه‌های آزمایشگاهی دارای سطح پیش‌تینیدگی پایین عملکرد مناسبی از خود نشان داده و بدون اینکه افت قابل توجه یا ناگهانی مقاومت داشته باشند، جابه‌جایی‌های نسبی غیرخطی بزرگ تا حدود ۴ درصد را تحمل نمودند. همچنین به دلیل کاربرد پیش‌تینیدگی به صورت تاندون منفصل، جابه‌جایی پسماند پس از آزمایش‌ها حداقل بود [1].

در سال ۲۰۰۷، اوو و همکاران⁷ در یک مطالعه عددی در مقیاس ریز، عملکرد لرزه‌ای پایه‌های پسکشیده منفصل را مورد بررسی قرار دادند. از مدل دقیق اجزای محدود برای شبیه‌سازی پایه استفاده شده و یک مطالعه پارامتری به منظور بررسی توانایی مدل تحلیلی ساده شده در پیش‌بینی رفتار لرزه‌ای این نوع پایه‌ها انجام شد. گزارش شد که مدل تحلیلی ساده شده توانست بیشترین کرنش در میلگردها و تنش در تاندون‌ها را در تحلیل بارافروزن⁸ با دقت مناسبی پیش‌بینی نماید [2].

در سال ۲۰۰۸، ونگ و همکاران⁹ آزمایش لرزه‌ای بزرگ مقیاسی روی پایه‌های بلند پل بتنی سگمنتی پیش‌ساخته انجام دادند. در این مطالعه، چهار نمونه پایه بزرگ مقیاس ساخته شده و تحت بارگذاری چرخه‌ای قرار گرفت. نتایج گزارش شده توسط ونگ و همکاران نشان داد که نمونه‌ها با طراحی پیشنهاد شده، شامل

ساخت عرضه پل‌ها به صورت مجموعه‌ای از قطعات پیش‌تینیده پیش‌ساخته مدت‌هاست که در نقاط مختلف جهان مورد استفاده قرار می‌گیرد. با این وجود، استفاده از پایه‌های پیش‌ساخته از نوع قطعه‌قطعه (سگمنتی) و یکپارچه به تازگی در پل‌ها مورد توجه قرار گرفته است. در قیاس با پایه‌های یکپارچه در جای مرسوم، پایه‌های پیش‌ساخته می‌توانند منجر به بهبود قابل توجه سرعت و کیفیت ساخت شوند. با این وجود، کاربرد پایه‌های پیش‌ساخته در مناطق لرزه‌خیز، به دلیل نگرانی‌های قابل توجه در خصوص عملکرد لرزه‌ای آن‌ها تاکنون بسیار محدود بوده است.

در مناطق لرزه‌خیز، پل‌ها در حالت ایده‌آل باید دارای توانایی مقاومت در برابر زلزله‌های متوسط بدون خسارت باشند و در برابر زلزله‌های شدید، بدون فربوپاشی و با بازگشت سریع به خدمت مقاومت کنند. شیوه طراحی مرسوم متکی بر تغییرشکل غیرالاستیک بزرگ در نواحی مفصل پلاستیک ستون‌ها و پایه‌ها است. در یک رویداد بزرگ لرزه‌ای، آسیب به ستون یا پایه به احتمال زیاد به دلیل ایجاد خردشدن¹⁰ پوشش بتنی غیرمحصور شده، تسليم میلگردهای طولی و عرضی، و کماش و شکست میلگرد خواهد بود. اگرچه این عملکرد ممکن است انتظارات ایمنی جانی را برآورده کند، این امکان وجود دارد که خسارت سازه‌ای دائمی و جابه‌جایی نسبی پسماند در سازه زیاد بوده و در نتیجه تعمیر سازه مشکل یا از لحاظ اقتصادی نامعقول شود. به منظور بهبود عملکرد لرزه‌ای و کاهش تغییرشکل‌های پسماند در ستون‌ها، به ویژه ستون‌های پیش‌ساخته، کاربرد سیستم‌های مرکزگرا^{۱۱} در سال‌های اخیر مورد توجه قرار گرفته است. مرکزگرایی یک قابلیت است که براساس آن جسم یا سازه بعد از تحریک به حالت اولیه خود باز می‌گردد. توانایی مرکزگرایی بیشتر از طریق المان‌های پسکشیده تحقق می‌یابد که می‌تواند به صورت افقی یا عمودی قرار داده شوند. در این سیستم‌ها، آسیب غیرالاستیک معمولاً در اجزای اتلاف انرژی قابل تعویض از قبیل میلگردهای فولاد نرمه متتمرکز می‌شود. در نتیجه‌ی ترکیب تاندون‌های پسکشیده و اتلاف انرژی متتمرکز در قطعات فولاد

6.Unbonded

7.Ou et al.

8.Push over

9.Wang et al.

1.Spalling

2.Self-Centering

3.Hysteresis

4.Flag-Shaped

5.Hewes et al.

نتایج ارائه شده، انتخاب تنش اولیه تاندون در حدود ۴۰ تا ۶۰ درصد تنش تسليم آن و تنش محوری اولیه روی بتن به بیشترین میزان ۲۰ درصد مقاومت مشخصه فشاری بتن در طراحی نمونه مطلوب تشخیص داده شد. این مقادیر طراحی از تسليم تاندون تا جایه‌جایی نسبی حدوداً ۴/۵ درصد جلوگیری نموده و رفتار مونوتونیک مطلوبی را برای نمونه فراهم نمود[6].

در سال ۲۰۱۷، صالحی و همکاران^۳ شبیه‌سازی عددی جامعی را به منظور بررسی اثر لغزشی-گهواره‌ای پایه‌ها تحت زلزله انجام دادند. نتایج تحلیل‌ها، هماهنگی خوبی را با نتایج آزمایشگاهی، به ویژه در مقدار بیشتر نیروها و جایه‌جایی‌ها نشان داد [7].

در سال ۲۰۱۹، کای و همکاران^۴ عوامل موثر بر جایه‌جایی نسبی پسماند پایه‌های پل سگمنتی پیش‌ساخته با میلگرددهای فولادی اتلاف انرژی را بررسی کردند. تحلیل‌های بارگذاری چرخه‌ای روی نمونه‌های مدل المان رشتی پایه‌های پل سگمنتی پیش‌ساخته با پارامترهای طراحی مختلف انجام شده و اثر نیروی پس‌کشیدگی، بار ثقلی، نسبت میلگرددهای فولادی اتلاف انرژی و نسبت ابعادی مورد بررسی قرار گرفت. بر اساس نتایج تحلیل‌ها، پیشنهادهایی برای طراحی بهتر پایه‌های پل سگمنتی پیش‌ساخته با میلگرددهای فولادی اتلاف انرژی ارائه شد [8].

علاوه بر مطالعات قابل توجه فوق، مطالعات مشابهی در سال ۲۰۰۸ توسط کاهنگ و همکاران^۵ [9]، در سال ۲۰۰۹ توسط لی و بیلینگتون^۶ [10]، در سال ۲۰۱۲ توسط بو و همکاران^۷ [11]، در سال ۲۰۱۳ توسط شیفر و همکاران^۸ [12]، در سال ۲۰۱۴ توسط سیدریس و همکاران^۹ [13]، در سال ۲۰۱۵ توسط بو و همکاران [14]، در سال ۲۰۱۶ توسط تانستاد و همکاران^{۱۰} [15] و متاوی و همکاران^{۱۱} [16]، در سال ۲۰۱۷ توسط دیویس و همکاران^{۱۲} [17]، تانستاد و همکاران [18]، ژاوه و همکاران^{۱۳}

تاندون‌های پیش‌تینیده و میلگرددهای فولادی معمولی که در بین درزهای سگمنت امتداد داشتند، رفتار مطلوبی از خود نشان دادند. علاوه بر مطالعه آزمایشگاهی، یک مطالعه عددی با استفاده از روش اجزا محدود برای فهم شرایط پیوستگی، مقادیر کرنش و الگوهای تغییر شکل نمونه‌های آزمایش شده انجام شد. هماهنگی خوبی بین مشاهدات آزمایشگاهی و نتایج مطالعات عددی گزارش شد [3].

در سال ۲۰۱۰، اوو و همکاران^۱ یک مطالعه آزمایشگاهی بزرگ مقیاس روی پایه‌های پل بتی سگمنتی پیش‌ساخته برای شناسایی رفتار لرزه‌ای انجام دادند. چهار نمونه بزرگ مقیاس تحت بار جانبی چرخه‌ای طراحی و آزمایش شدند. نتایج آزمایش‌ها نشان داد که روش ساخت پیشنهاد شده و جزیئات لرزه‌ای برای میلگرددهای اتلاف انرژی در تضمین شکل پذیری و کاهش صدمات پسماند ناشی از زلزله موثر است [4].

در سال ۲۰۱۰، اوو و همکاران در مطالعه‌ای دیگر مقایسه‌ای بین رفتار چرخه‌ای پایه‌های مرکزگرا با میلگرد فولادی مرسوم و میلگرددهای فولادی با عملکرد بالا به عنوان اجزای جاذب انرژی انجام دادند. نتایج نشان دادند که اتصالات یکپارچه بین اولین سگمنت (قطعه پیش‌ساخته) و فونداسیون می‌تواند اتلاف انرژی تحت بارهای لرزه‌ای را بهبود ببخشد. همچنین مشاهده شد که کاربرد میلگرددهای اتلاف‌کننده انرژی با عملکرد بالا می‌تواند به ظرفیت جایه‌جایی بیشتر، اتلاف انرژی بالاتر، و مقاومت جانبی بزرگتر پایه منجر شود [5].

در سال ۲۰۱۴، داود و همکاران^۲ عوامل تاثیرگذار روی رفتار لرزه‌ای مونوتونیک پایه‌های پل پیش‌ساخته سگمنتی را با کاربرد یک مدل اجزاء محدود و تحلیل پارامتری بررسی کردند. پارامترهای طراحی بررسی شده شامل تنش اولیه پیش‌تینیدگی، نسبت‌های ابعادی پایه، جزئیات ساخت، ضخامت لوله فولادی و فولاد نرم‌هه اضافه شده به عنوان اتلاف‌گر انرژی بودند. براساس

9.Sideris et al.

10.Thonstad et al.

11.Mantawy et al.

12.Davis et al.

13.Zhao et al.

1.Ou et al.

2.Dawood et al.

3.Salehi et al.

4.Cai et al.

5.Cohagen et al.

6.Lee and Billington

7.Bu et al.

8.Schaefer et al.

مربط با جزئیات پایه پیش‌ساخته و سازه متشکل از آن مورد بررسی قرار گرفته و مجموعه‌ای از توصیه‌ها برای بهبود طراحی این قطعات ارائه خواهد شد.

۲- مدل‌سازی

برای بررسی پارامترهای حاکم بر رفتار پایه‌های پل پیش‌ساخته مرکزگرا، یک مدل سازی در نرم‌افزار OpenSees ساخته شد. آرایش کلی مدل به کار رفته برای پایه‌های مورد مطالعه در شکل (۱) توصیف شده است. این آرایش کلی توسط مولفین پس از بررسی ادبیات فنی قبلی و با سعی و خطاب برای رعایت توازنی بین پیچیدگی مدل و قابلیت همگرایی در تحلیل دینامیکی غیرخطی حاصل شد. بتن پایه با کاربرد مجموعه‌ای از المان‌های رشتہ‌ای با رفتار غیرخطی شبیه‌سازی شد. هر سگمنت یا قطعه با یک المان تیر-ستون مبتنی بر تغییرشکل^۷ متشکل از این المان‌های رشتہ‌ای شبیه‌سازی شد. اتصال بین دو سگمنت پیش‌ساخته با یک المان مقطع به طول صفر^۸ و تاندون‌های پیش‌تیدگی نیز با استفاده از المان خرپایی^۹ مجزا مدل‌سازی شدند تا عدم پیوستگی بین بتن و تاندون‌ها اعمال شود. از لغزش افقی بین دو سگمنت پیش‌ساخته در مدل المان رشتہ‌ای جلوگیری شد؛ چرا که در آزمایش‌های شبیه‌استاتیک، آزمایش‌های دینامیکی و تحلیل‌های عددی قبلی، لغزش افقی در درزهای بین دو سگمنت، ناچیز یا صفر گزارش شده است[۳۰, ۱, ۴, ۵].

برای حفظ حالت الاستیک تاندون‌ها در زلزله‌های شدید، باید از تمرکز کرنش در تاندون‌های پس‌کشیده در پایین پایه‌ها جلوگیری شود. اگر مفصل پلاستیک در محل اتصال پایه به فونداسیون رخ دهد در حالت متصل تمرکز کرنش و غیرخطی شدن در یک مقطع رخ می‌دهد؛ ولی در حالت منفصل، کرنش در کل طول تاندون توزیع شده و از تمرکز آن و امکان غیرخطی شدن جلوگیری می‌شود. به همین دلیل، پایه پل‌های پیش‌ساخته با تاندون‌های پس‌کشیده منفصل مناسب‌تر از پایه پل‌های پیش

[۱۹]، و ونگ و همکاران^{۱۰} [۲۰]، در سال ۲۰۱۸ توسط اوو و همکاران^{۱۱} [۲۱] و ونگ و همکاران [۲۲]، در سال ۲۰۲۰ توسط احمدی و کاشانی^{۱۲} [۲۳]، جیا و همکاران^{۱۳} [۲۴]، ونگ و همکاران [۲۵] و لی و همکاران^{۱۴} [۲۶]، در سال ۲۰۲۱ توسط ژنگ و همکاران [۲۷] و تونگ و همکاران^{۱۵} [۲۸]، و در سال ۲۰۲۲ توسط ژنگ و همکاران^{۱۶} [۲۹] انجام شد. در همه این مطالعات، عملکرد مناسب سیستم‌های مرکزگرا در برابر بارگذاری چرخه‌ای و یا دینامیکی مورد تایید قرار گرفت.

با مرور ادبیات فنی فوق مشخص شد که موضوع رفتار لرزه‌ای پایه‌ها و یا ستون‌های پیش‌ساخته به صورت‌های یک‌پارچه و یا متشکل از قطعات، پیش‌تیدگی و یا غیرپیش‌تیدگی، و در نسبت‌های ابعادی، اشکال و جزئیات متفاوت در مطالعات عددی و آزمایشگاهی قبلی متعددی مورد بررسی قرار گرفته است. در هر یک از این مطالعات، تلاش شده که اثر کاربرد جزئیات‌بندی‌های مختلف روی رفتار لرزه‌ای پایه مورد بررسی قرار بگیرد. با این وجود، بررسی‌های انجام شده روی تاثیر پارامترهای طراحی بر روی عملکرد کلی پایه‌های پیش‌ساخته، نسبتاً محدود بوده و تصویر کاملی از چگونگی انتخاب این پارامترها مانند مساحت فولاد پیش‌تیدگی و اندازه نیروی پیش‌تیدگی مورد نیاز برای حصول عملکرد مناسب در حالت‌های مختلف وجود ندارد. همچنین در مقایسه‌های پیشین، دید طراحی مناسب بر بررسی‌ها حاکم نبوده و به همین دلیل، مقاومت خمشی اسمی نمونه‌ها یا مدل‌های مورد بررسی یکسان نبوده است تا بتوان از خروجی مطالعه برای هدایت طراح به بهترین گزینه برای تامین عملکرد لرزه‌ای استفاده نمود.

در پژوهش حاضر، مجموعه‌ای از مدل‌های تحلیلی پایه پل‌های پیش‌ساخته مرکزگرا در محیط نرم‌افزار OpenSees ساخته شده و بر اساس نتایج آزمایشگاهی موجود از ادبیات فنی مورد درستی آزمایی قرار می‌گیرند. پس از درستی آزمایی فرضیه‌های مدل‌سازی، با انجام تحلیل‌های تاریخچه زمانی، پارامترهای

6.Tong et al.

7. Displacement-Based Beam-Column Element

8. Zero-Length Section Element

9. Corotational Truss Element

1.Wang et al.

2.Ou et al.

3. Ahmadi & Kashani

4.Jia et al.

5.Li et al.

ستون الاستیک^۱ با سختی زیاد و آرایش نشان داده شده در شکل (۱) استفاده شد.

ساخته با تاندون های متصل هستند [۲]. بر همین اساس، در این مطالعه از تاندون های پس کشیده منفصل استفاده شد. برای تعریف درست اتصال دهنده تاندون ها به هم و پایه از المان تیر-

شکل ۱. آرایش کلی مدل پایه مورد استفاده در مطالعه حاضر

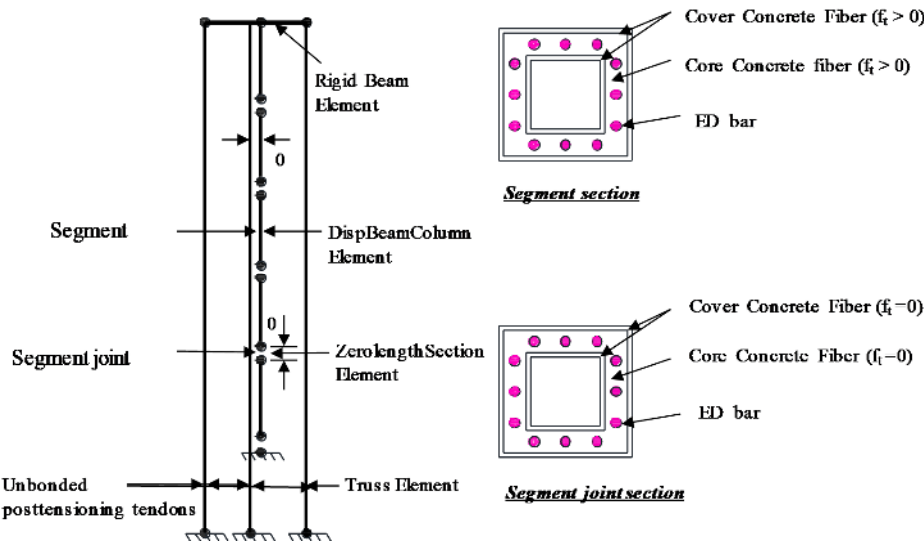


Fig. 1. Overall model layout in the present study

استفاده شد که در آن مشخصات مصالح بتن فشاری محصور شده

بر اساس جزئیات دور پیچ یا خاموت به دست می آید.

برای محل درزهای بین دو سگمنت از المان مقطع به طول صفر استفاده شد. در تعریف مصالح برای این المان، به جای نمودار تنش-کرنش از نمودار تنش-لغزش استفاده می شود. بنابراین لازم بود برای تبدیل کرنش های بتن به لغزش، این کرنش ها در یک طول لغزش ضرب شوند. برای هر قطر میلگرد اتلاف انرژی که از درز می گذرد، یک لغزش تسليم یا S_y تعریف می شود که در ادامه روش تعیین آن توضیح داده خواهد شد. با تقسیم S_y کرنش تسليم میلگرد نرمه (میلگرد اتلاف انرژی) یک طول بدست می آید که طول معادل رخداد لغزش است. طول مزبور، فقط دارای ارزش محاسباتی است، ولی با انتگرال گیری از کرنش در طول آن، مقدار لغزش به درستی محاسبه می شود [۳۵].

۱-۲-۱- مدل رفتاری مصالح

برای رفتار بتن از مصالح Concrete07 استفاده شد که از مدل بتن چنگ و مندر^۲ [۳۱] با ساده سازی در منحنی های بار برداری و بارگذاری مجدد استفاده می کند. البته در این مدل، به منظور سهولت حل عددی، بخشی از قابلیت های مدل بتن چنگ و مندر [۳۱] به ویژه در زمینه رفتار کششی حذف شده است. نمودار تنش-کرنش برای این مدل بتن در شکل (۲) نشان داده شده است. در این شکل، منحنی (a) پوش رفتار کششی و فشاری بتن بر اساس مدل چنگ و مندر و منحنی (b) نمایانگر رفتار چرخه ای اصلاح شده توسط واو و همکاران^۳ [۳۲] در نرم افزار OpenSees است که در قالب مدل Concrete07 به کار می رود.

برای دقت بیشتر مدل مقطع، دو نوع بتن محصور شده و محصور نشده در OpenSees [۳۳] تعریف شد. در تعیین مشخصات بتن محصور نیز از مدل مندر و همکاران^۴ [۳۴]

3.Waugh et al.

4. Mander et al.

1. ElasticBeamColumn element

2. Chang & Mander

$$S_{y,in.} = 0.1 \left(\frac{db}{4000} \frac{f_{y,psi}}{\sqrt{f'_c}} (2\alpha + 1) \right)^{\frac{1}{\alpha}} + 0.013 \quad (1)$$

$$S_u = 35S_y \quad (2)$$

که در آن S_y و S_u به ترتیب لغزش میلگرد متناظر با نقطه تسليیم و نهایی، f_y مقاومت تسليیم میلگرد فولادی در جهت طول پایه، قطر میلگرد فولادی، f'_c مقاومت فشاری بتن و α پارامتر بيانگ شرایط موضعی در رابطه تنش-لغزش است که با توجه به توصیه ژاوو و سرایزاران می‌تواند برابر با $0/4$ گرفته شود [35]. مدل میلگرد و رابطه تنش-کرنش در شکل (b-۳) نشان داده شده است. طول غیرمنفصل اضافی فولاد نرمه در محل درز بحرانی (درز بین سگمنت اول و فونداسیون)، با رفتار لغزشی Bond_SP01 مدلسازی شد.

برای مصالح بتنی مورد استفاده در درزهای بین دو سگمنت، از آن جایی که از المان مقطع به طول صفر استفاده شده است، لازم بود برای تبدیل کرنش‌های بتن به لغزش‌های بتن یک طول لغزش مورد استفاده قرار گیرد. این طول بر اساس فرایندی مشابه فرایند فوق برای میلگردهای فولادی محاسبه شد. برای رفتار تاندون‌های پیش‌تینیده نیز از مدل Steel02 استفاده شده و نیروی پیش‌تینیدگی با کاربرد ماده InitStressMaterial به صورت تنش اولیه به Steel02 اضافه شد.

۲-۲- جزئیات مقاطع

همان‌گونه که در شکل (۱) دیده می‌شود، مقاطع عرضی متفاوتی در طول سگمنت و در محل درز بین سگمنت‌ها استفاده شده است. تفاوت اصلی بین این دو مقطع در موارد زیر است: (۱) مصالح بتن در مقاطع مورد استفاده در محل درزها نمی‌توانند نیروی کششی را انتقال دهد. بنابراین مقاومت کششی در المان‌های رشته‌ای به کار رفته در این مقاطع صفر است؛ (۲) در درزها از ماده Bond_SP01 استفاده شده است؛ به عبارت دیگر، آثار نفوذ کرنش در نظر گرفته می‌شود و در درزها به جای کرنش میلگردهای اتصال انرژی، از لغزش در جهت طول پایه استفاده

شکل ۲. رفتار بتن: (a) منحنی پوش فشاری و کششی بتن چنگ و مندر [31] (b) رفتار چرخه‌ای اصلاح شده مدل چنگ و مندر توسط واو و همکاران [32]

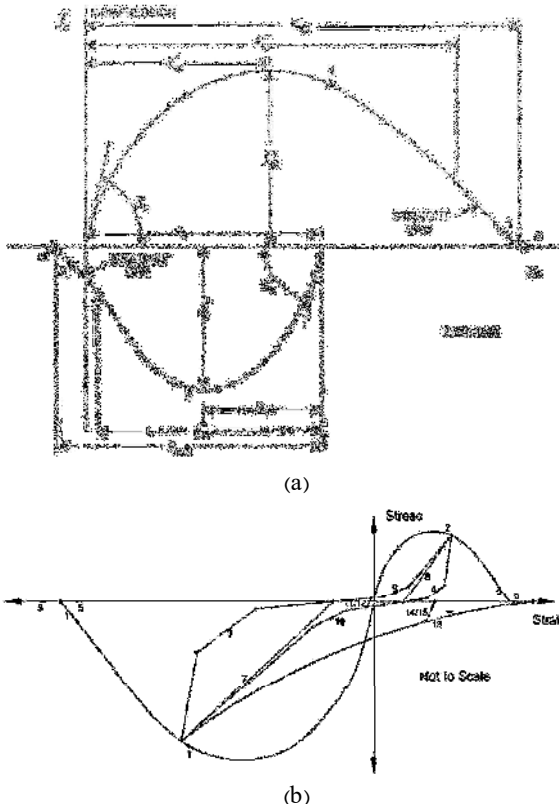


Fig. 2. Concrete model: (a) Stress-strain curve according to Chang and Mander [31] (b) Modified version of Chang and Mander cyclic behavior according to Waugh et al. [32]

برای رفتار میلگرد اتصال انرژی داخل سگمنت‌ها از مدل OpenSees در Steel02 استفاده شد که رابطه تنش-کرنش آن در شکل (a-۳) نشان داده شده است. برای رفتار میلگرد داخل درزهای بین دو سگمنت نیز از مدل Bond_SP01 استفاده شد که برای شبیه‌سازی آثار نفوذ کرنش به کار می‌رود. این مدل رفتاری مصالح توسط ژاوو و سرایزاران^۱ [35] توسعه داده شده تا لغزش میلگردهای طولی با طول مهاری کافی و لغزش ایجاد شده در اثر نفوذ کرنش را ثبت کند. در این مدل، لغزش تسليیم و لغزش نهایی با استفاده از معادله‌های پیشنهاد شده توسط ژاوو و سرایزاران مطابق معادلات (۱) و (۲) محاسبه شدند.

میلی متر برای ایجاد ظرفیت مرکزگرایی در پایه هستند. ویژگی های مصالح و پارامترهای طراحی نمونه های اوو و همکاران در جدول (۱) ارائه شده است.

پارامترهای اصلی مورد استفاده در این پژوهش برای مدلسازی مصالح نمونه های آزمایش شده توسط اوو و همکاران در جدول (۲) ارائه شده است. دو پارامتر مورد نیاز برای مدل Concrete07 شامل X_p و X_n هستند که به صورت بدون بعد، کرنش بتن در شروع خط مستقیم شاخه نزولی را به ترتیب در کشش و فشار نمایندگی می کنند. برای این دو پارامتر، تحلیل حساسیت انجام شده و مشاهده شد که تغییر آنها تاثیر قابل ملاحظه ای بر نتایج مورد اهمیت در این تحقیق ندارد. به طور کلی، بیشتر افت در منحنی ظرفیت در این پژوهش به بتن مرتبط بوده و کاهش مقاومت فولاد و تاندون وجود نداشته است؛ چرا که مصالح Steel02 قادر قابلیت در نظر گرفتن افت مقاومت با گسیختگی است. بر همین اساس و برای اطمینان از عدم گسیختگی فولاد، در کلیه تحلیل ها کنترل مستقل برای کوچکتر بودن کرنش فولاد از 0.1% انجام گرفت.

مدل تحلیل اجزا محدود (FE) توسعه یافته در این تحقیق با آزمایش چرخه ای بزرگ مقیاس با چهار نمونه پایه سگمنتی پیش ساخته سال ۲۰۱۰ اوو و همکاران درستی آزمایش شد. ابتدا، مدل تحت بار پیش تندگی حاصل از تاندون های پس کشیده منفصل بارگذاری شده و سپس بار ثقلی در انتهای بالای سگمنت اعمال شد. در نهایت، جابه جایی های جانبی به بالای پایه اعمال شد. در انجام تحلیل، اثر $P-\Delta$ حاصل از بار محوری برای دقت مدلسازی لحاظ شد.

چهار مدل نمونه تحت بار محوری فشاری و جابه جایی جانبی تحت پروتکل مشخص بارگذاری مورد استفاده در آزمایش تحلیل شدند. مقایسه بین نتایج مدل عددی مورد استفاده و نتایج آزمایش در شکل (۵) نشان داده شده است.

می شود که مبنای تعریف مصالح در المان مقطع به طول صفر است.

شکل ۳. مدل مصالح فولادی استفاده شده: (الف) مدل Steel02 (ب) مدل Bond_SP01 [35]

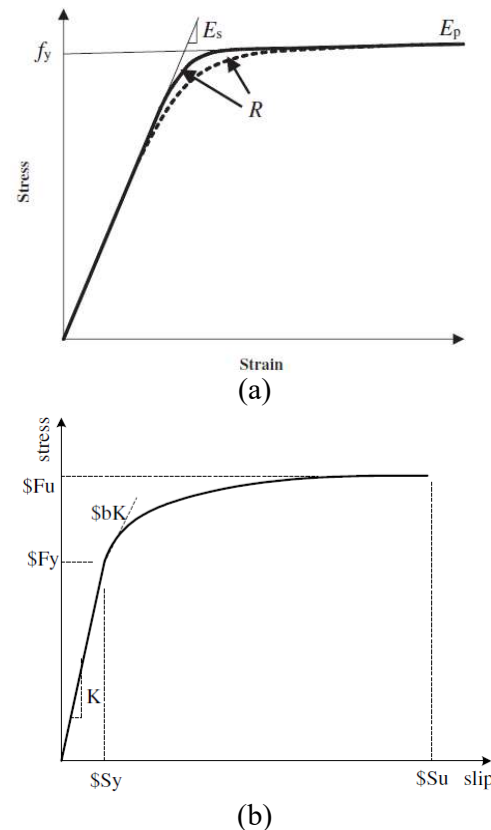


Fig. 3. Steel material model: (a) Steel02 (b) Bond_SP01 according to Zhao and Sritharan [35]

۳- درستی آزمایی مدل مورد استفاده

دقت و کارایی مدل اجزا محدود پیشنهاد شده برای پایه پل های پیش ساخته مرکزگرا با نتایج آزمایشگاهی چرخه ای موجود برای چهار نمونه پایه پل سگمنتی آزمایش شده توسط اوو و همکاران^۱ [4] مورد ارزیابی قرار گرفت. شکل (۴) جزئیات مقطع طراحی را نشان می دهد. همان گونه که در این شکل نشان داده شده است، این پایه های پل شامل ۴ سگمنت و یک سرستون هستند. ارتفاع هر سگمنت و سرستون ۹۰۰ میلی متر است. نمونه شامل ۴ تاندون پیش تندگی، هر یک متشکل از ۲ استرنند ۷ رشتہ ای به قطر ۱۵

شکل ۴. جزئیات طراحی نمونه‌های آزمایش شده توسط اوو و همکاران [4]

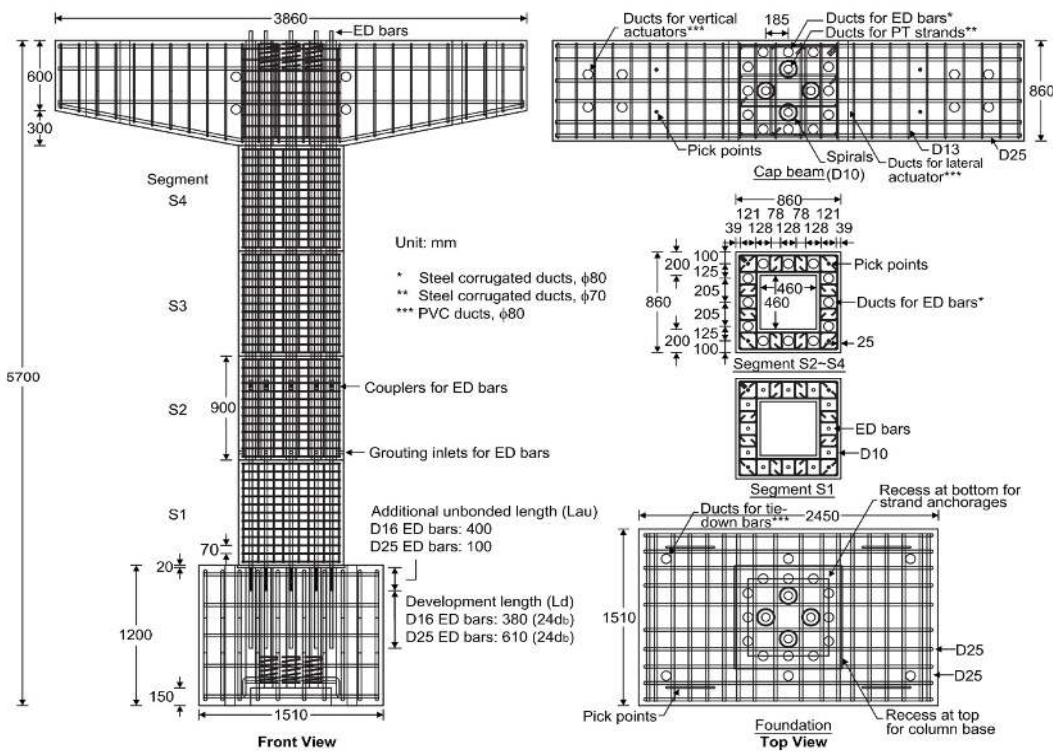


Fig. 4. Design details of specimens tested by Ou et al. [4]

جدول ۱. مشخصات مکانیکی نمونه‌های آزمایش شده توسط اوو و همکاران [4]

Concrete	Grout	Rebar cages		ED bars		Post-tensioning tendons	
Compressive strength used in design (MPa)	Compressive strength (MPa)	Yield strength (MPa)	Peak strength (MPa)	Yield strength (MPa)	Peak strength (MPa)	Yield strength (MPa)	Peak strength (MPa)
32	54	444	642	434	653	1682	1852
Specimen	Gravity load (KN)	Posttensioning force (KN)		ED bar ratio (%)	Lau (mm)	Ld (mm)	
C0C	1456	1042		0	N.A.	N.A.	
C5C	1456	1042		0.5	400	380	
C8C	1456	1042		1	100	600	
C5C-1	1456	1042		0.5	400	380	

Table 1. Mechanical properties of specimens tested by Ou et al. [4]

جدول ۲. مشخصات مکانیکی فرض شده برای درستی آزمایش در مدل‌های مصالح Bond_SP01، Steel02، Concrete07 و

	f_c (MPa) ⁽¹⁾	$\varepsilon_c^{(2)}$	f_t (MPa) ⁽³⁾	E_c (MPa) ⁽⁴⁾	$\varepsilon_t^{(5)}$	$X_p^{(6)}$	$X_n^{(7)}$	$r^{(8)}$	
Cover	32	0.0021	3.52	30250	0.00023	2	2.3	4.29	
Core	42.8	0.0055	3.52	30250	0.00023	2	30	1.34	
Steel	f_{yED} (MPa) ⁽⁹⁾	f_{yp} (MPa) ⁽¹⁰⁾	E_s (MPa) ⁽¹¹⁾	$b_s^{(12)}$	S_y (mm) ⁽¹³⁾	f_u (MPa) ⁽¹⁴⁾	S_u (mm) ⁽¹⁵⁾	$b_p^{(16)}$	$R^{(17)}$
Steel	434	1682	200000	0.02	0.42	653	14.7	0.4	0.75

Notes: (1) Compressive strength of concrete; (2) Strain at peak stress; (3) Direct tensile strength of concrete; (4) Modulus of elasticity of concrete; (5) Cracking strain of concrete; (6) Non-dimensional parameter representing tensile concrete strain at the beginning of descending branch; (7) Non-dimensional parameter representing compressive concrete strain at the beginning of descending branch; (8) Parameter controlling nonlinear descending branch; (9) Yield strength of ED bars; (10) Yield strength of prestressing steel; (11) Modulus of elasticity of steel; (12) Strain hardening ratio for steel; (13) Slip corresponding to yield stress; (14) Ultimate strength of mild steel; (15) Slip corresponding to ultimate stress; (16) Hardening ratio used for stress-slip behavior; (17) Pinching factor for the cyclic slip.

Table 2. Mechanical properties assumed for validation in Concrete07, Steel02, and Bond_SP01 material models

شکل ۵. مقایسه نتایج مدل عددی در مطالعه حاضر با نتایج نمونه‌های آزمایش شده توسط اوو و همکاران [4]

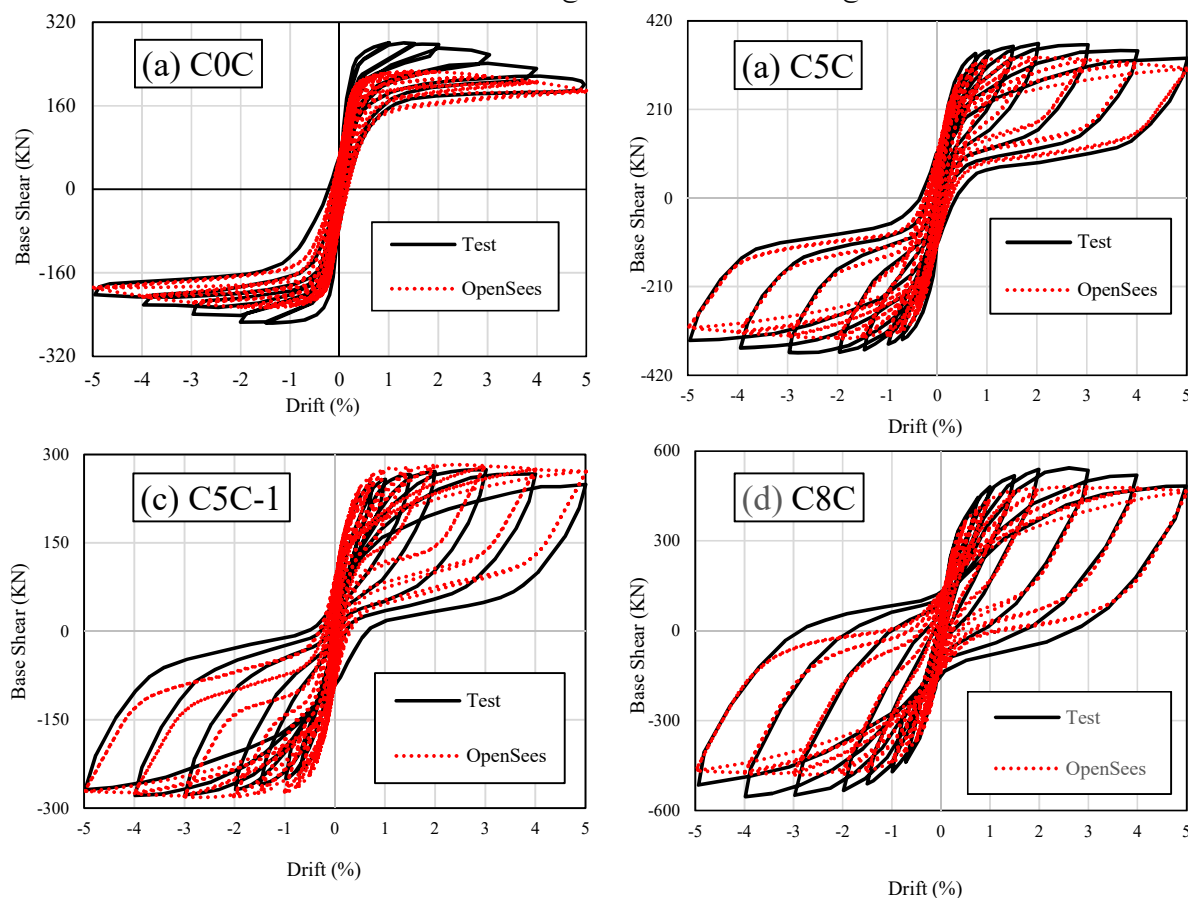


Fig. 5. Comparison between numerical results from this study and experimental results reported by Ou et al. [4]

مختلف با جایگزین کردن فولاد نرمه با تاندون‌های پیش‌تینیدگی تعریف شد، به طوری که لنگر خمشی اسمی آیین نامه‌ای آنها حداقل ۱۰ درصد با پایه مبنا تفاوت داشته باشد. با توجه به پارامترهای حاکم بر مسئله، دستیابی به مقاومت اسمی دقیقاً یکسان امکان‌پذیر نیست، انتخاب پیشینه ۱۰ درصد اختلاف بین مقاومت نمونه‌های طراحی شده با درنظر گرفتن ملاحظات عملی، در عین حفظ دقت منطقی صورت گرفته است. در گام بعدی، این ۹ پایه در نرم‌افزار OpenSees با رویکرد درستی آزمایش شده شبیه‌سازی گردیده و تحت تحلیل‌های مونوتونیک، چرخه‌ای و دینامیکی قرار گرفتند تا مقادیر بهینه فولاد نرمه، فولاد پیش‌تینیدگی و نسبت نیروی پیش‌تینیدگی برای حصول بهترین رفتار تعیین شوند.

شکل (۵) نشان می‌دهد که مدل ساخته شده قادر است در عین رعایت توازنی مناسب از نظر میزان پیچیدگی و توجه به ملاحظات همگرایی در تحلیل غیرخطی، به شکل موثری عملکرد لرزه‌ای پایه‌های سگمنتی پیش‌ساخته را پیش‌بینی نماید.

۴- تحلیل پارامتری

برای بررسی و توصیه رویکردهای مناسب طراحی، یک تحلیل پارامتری روی طرح پایه پل پیش‌ساخته مرکزگرا صورت گرفت. در این تحلیل پارامتری، ابتدا یک پایه پل توسط مولفین به عنوان «پایه پل مبنا» بر اساس آیین نامه طراحی پل آشتو^۱ [36] به صورت بتون مسلح غیر پیش‌تینیده طراحی شد که مبنای مقایسه با طرح‌های دارای فولاد پیش‌تینیدگی قرار می‌گیرد. سپس ۸ طرح

و طراحی پل ضرورت نیافت. خروجی فرایند طراحی، مقطع اولیه پایه‌ای به ابعاد $1/4 \times 1/4$ در متر، مت Shank از ۶۴ میلگرد با قطر ۲۸ میلی‌متر بوده است. برای حصول مجموعه‌ای از گرینه‌های جایگزین، ابتدا پایه مورد نظر در نرمافزار OpenSees مدلسازی شده و با فرضیات ساده کننده آیین‌نامه‌ای، شامل رفتار غیرمحصور برای کل بتون، و صرف‌نظر از لغزش و سخت‌شدگی کرنشی فولاد تحت تحلیل لنگر انحنای قرار گرفت تا مقاومت خمشی اسمی مقطع، یعنی لنگر خمشی منتظر با کرنش بیشینه $30,000$ در فشار بدست آید. سپس در گام‌های متعدد، مقداری از فولاد نرمه کم شد و به جای آن از مقداری فولاد پیش‌تینیدگی استفاده شد. فولاد پیش‌تینیدگی مصرفی از نوع با وادادگی کم و رده ۲۷۰ بوده است، که برای آن تنش نهایی 1862 MPa مگاپاسکال و تنش تسلیم 1670 MPa مگاپاسکال فرض گردید.

مدل‌های به دست آمده تحت تحلیل لنگر-انحنای ساده شده در نرمافزار OpenSees قرار گرفت تا مقاومت اسمی آن تعیین شود. با سعی و خطا تلاش شد تا تغییر آرماتور و فولاد پیش‌تینیدگی به شکلی باشد تا مقاومت خمشی اسمی با قبول اختلاف بیشتر از 10% درصد، تغییری نکند. به عبارت دیگر، مجموعه 9 طرح پایه به دست آمد که همگی دارای مقاومت خمشی اسمی آیین‌نامه‌ای تقریباً یکسان ولی مقادیر مختلف فولاد نرمه و فولاد پیش‌تینیده بودند. بنابراین هر یک از این طرح‌ها می‌تواند خروجی یک طراحی متعارف آیین‌نامه‌ای برای این پایه پل باشند که مقایسه عملکرد بین آن‌ها می‌تواند به شکل موثری در انتخاب محدوده موثر پارامترهای طراحی به کار رود.

پس از ایجاد طرح‌های جایگزین، مدل دقیق این 9 طرح با در نظر گرفتن اثر محصور شدگی، سخت شدگی کرنشی، وجود درز بین قطعات، و آثار لغزش میلگردها مطابق فرایند درستی آزمایی شده در نرمافزار OpenSees ساخته شده و تحت تحلیل بارافزون، چرخه‌ای، و دینامیکی تاریخچه زمانی قرار گرفت. در بررسی پارامتری رفتار این مدل‌ها، دو پارامتر کلیدی، n_p و n_G تعریف شدند که به ترتیب نشان دهنده نسبت نیروی محوری ایجاد شده در پایه در اثر نیروی پیش‌تینیدگی و نسبت نیروی ثقلی به نیروی محوری کل قابل تحمل توسط بتون مطابق روابط (3) و (4) هستند.

همانطور که در شکل (6) نشان داده شده است، پایه‌های بتون مورد بررسی در این مطالعه پارامتری، پایه‌های مربعی طراهی هستند. فرض شده است که هر پایه بتون پیش‌ساخته شامل یک فونداسیون صلب و پنج سکمنت باشد. به علاوه فضای خالی ای به قطر 200 میلی‌متر در مرکز مقطع سکمنت برای غلاف عبور تاندون‌های پس‌کشیده تعییه شد.

شکل ۶. ساختار و ابعاد پایه‌های بتون پیش‌ساخته مرکزگرا تحلیل شده

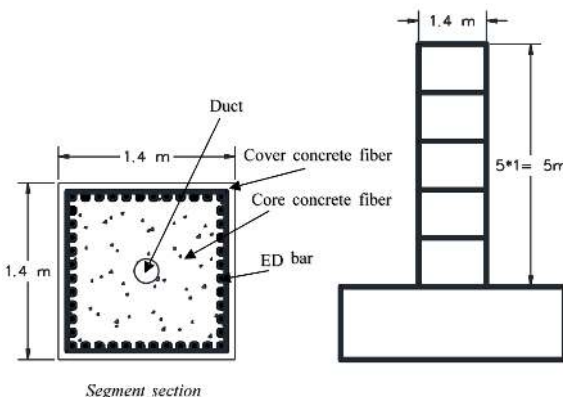


Fig. 6. Layout and dimensions of precast piers analyzed in parametric studies

پایه پل مینا با فرضیات زیر توسط مولفین طراحی شد:

- ارتفاع پایه پل 5 متر است.
- بار مرده 277 تن و بار زنده 100 تن به صورت متتمرکز به نوک پایه پل اعمال شده است.

- تنش تسلیم خاموت‌ها و میلگردهای طولی 414 MPa مگاپاسکال و مقاومت فشاری بتون محصور نشده $34/5 \text{ MPa}$ مگاپاسکال است.

- پایه با فرض کاربرد آرماتور طولی به میزان 2 درصد طراحی شده است که انتخابی منطقی با توجه به لزوم آرماتور طولی آین نامه‌های طراحی بین 1 و 3 درصد است.

- طیف رکورد براساس آیین‌نامه آشتیو برای موقعیت جغرافیایی لس آنجلس آمریکا (با خط‌پذیری بالا) و برای خاک نوع D استخراج شد. (احتمال وقوع: $7/75$ در سال)

- ضربی رفتار پایه پل، مطابق آیین‌نامه آشتیو برابر با 2 در نظر گرفته شد.

شایان ذکر است که با توجه به محدود بودن سازه مورد بررسی به یک پایه طراهی، کاربرد نرمافزارهای اختصاصی تحلیل

رکورد زلزله که بیشترین جایه‌جایی پسماند را در سازه مینا ایجاد می‌کردد برای تحلیل‌های دینامیکی انتخاب شدند. ضرایب مقیاس رکوردهای زلزله (S.F.) با منطبق کردن S_a طیف‌های شتاب زمین لرزه در دوره تناوب اصلی سازه روی S_a طیف شتاب استاندارد طراحی آینن نامه آشتو [36] (طیف طرح) محاسبه شد. به عبارت دیگر، هر شتاب نگاشت در ضریبی ضرب شد تا مقدار طیف شتاب آن در دوره تناوب اصلی سازه برابر با طیف شتاب استاندارد آینن نامه آشتو شود. جزئیات رکوردها و مقدار ضرایب مقیاس به کار رفته در این مطالعه در جدول (۴) ارائه شده است. در شکل (۷) طیف‌های شتاب مقیاس شده زمین لرزه و طیف شتاب استاندارد طراحی آینن نامه سال ۲۰۱۷ آشتو برای مقایسه کیفی نشان داده شده اند. در پایان و بر اساس تحلیل‌های اویله، از آن‌جایی که آینن نامه آشتو ضریب رفتار کمی برای پایه پل در نظر گرفته است، برای اطمینان از غیرخطی شدن پایه در اثر بارگذاری دینامیکی اعمالی، ضرایب مقیاس در $1/5$ ضرب شد. این ضریب معرف نسبت پیشنهادی زلزله با دوره بازگشت ۲۴۷۵ سال به زلزله با دوره بازگشت ۴۷۵ سال است و به منظور اعمال آثار زلزله‌های شدیدتر از زلزله طرح مورد استفاده قرار گرفت تا رفتار سازه در محدوده غیرخطی بهتر ارزیابی شود.

شکل ۷. طیف پاسخ شتاب نگاشت‌های مقیاس شده با میرایی ۵٪ به همراه طیف طراحی آینن نامه آشتو در لس آنجلس

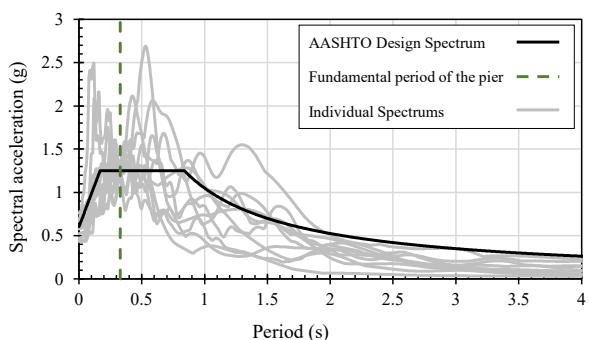


Fig. 7. 5-percent damping acceleration spectra for scaled records in comparison with AASHTO acceleration design spectrum in Los Angeles

$$n_p = \frac{F_p}{A_g f'_c} \quad (3)$$

$$n_G = \frac{F_G}{A_g f'_c} \quad (4)$$

در این روابط، F_p نیروی پیش‌تنیدگی، F_G نیروی ثقلی ناشی از بارهای بدون ضریب مرده و زنده، و A_g مقطع عرضی کل می‌باشد. در این مطالعه، مقدار پارامتر n_G برای بار ثقلی ثابت ۲۷۷ تن برابر $40/0^4$ بوده است. در جدول (۳) حالت‌های ۹ گانه‌ی طرح سازه با لنگر خمی اسمی برای توصیف شده است.

جدول ۳. پارامترهای طراحی پایه

Design No.	ρ_{ED} (%)	ρ_{Ten} (%)	ρ_{Total} (%)	n_p
1	2	0	2	0
2	1.7	0.21	1.91	0.05
3	1.5	0.21	1.71	0.05
4	1.3	0.41	1.71	0.10
5	1.0	0.62	1.62	0.15
6	0.8	0.83	1.63	0.20
7	0.5	1.03	1.53	0.25
8	0.3	1.24	1.54	0.30
9	0.2	1.45	1.65	0.35

Note: ρ_{ED} = Long. reinforcement ratio; ρ_{Ten} =Prestressing steel ratio;

ρ_{Total} =Total reinforcement ratio.

Table 3. Pier design parameters

برش پایه برای طراحی سازه از رابطه (۵) محاسبه شد.

$$v_y = \frac{m_e S_a}{R_\mu} \quad (5)$$

که در آن R_μ ضریب کاهش مقاومت یا ضریب رفتار سازه، جرم موثر لرزه‌ای سازه و S_a مقدار مولفه شتاب در زمان تناوب اصلی سازه در طیف طرح شتاب براساس آینن نامه آشتو برای خاک نوع D در منطقه لس آنجلس است.

برای ارزیابی پایه‌های طراحی شده، از ۱۰ رکورد زلزله دور از گسل از [37] FEMA P-695 استفاده شد. رکوردهای زلزله دور از گسل FEMA P-695 شامل ۲۲ شناسه زلزله است که با توجه به اینکه هر شناسه شامل دو رکورد در جهات متعامد بوده است، در کل شامل ۴۴ رکورد زلزله را شامل می‌شود. از این تعداد، ۳۲ رکورد به خاک نوع D مرتبط هستند. این ۳۲ رکورد زلزله همگی به سازه مبنای اعمال شده و از بین آنها ۱۰

جابه‌جایی نسبی ۵٪ کم است ولی با افزایش نسبت نیروی پیش‌تنیدگی این احتمال بالا می‌رود. این موضوع باعث دو ویژگی در منحنی‌های رفتار مونوتونیک می‌شود: (۱) افزایش نسبت پیش‌تنیدگی منجر به کاهش اختلاف بین سختی اولیه و ثانویه (سختی بعد از الاستیک) می‌شود؛ و (۲) افزایش نسبت نیروی پیش‌تنیدگی منجر به افزایش شیب منفی منحنی برش‌پایه بر حسب جابه‌جایی بعد از نقطه پیک می‌شود. به عبارت دیگر، در نسبت نیروی پیش‌تنیدگی بیش از حد بزرگ، شکل‌پذیری پایه کاهش یافته و شکست ترد رخ می‌دهد. در نهایت، تغییر در مساحت تاندون‌های پس‌کشیدگی سختی اولیه در پایه‌های بررسی شده را تغییر نمی‌دهد. با این وجود، با افزایش مساحت تاندون پس‌کشیدگی، سختی ثانویه نمونه‌ها به مقدار کمی افزایش می‌یابد.

سازه در حالت نسبت نیروی پیش‌تنیدگی برابر صفر کمترین سختی بعد از الاستیک را دارد. سازه با نسبت نیروی پیش‌تنیدگی برابر ۰/۰۵ رفتار مشابهی از خود نشان می‌دهد ولی با نسبت نیروی پیش‌تنیدگی برابر ۰/۱ تا جابه‌جایی نسبی حدود ۴/۵ درصد دارای سختی مثبت بوده و بعد از آن دچار افت مقاومت (سختی منفی) می‌شود. به صورت مشابه، سازه با نسبت نیروی پیش‌تنیدگی برابر ۰/۱۵، ۰/۲، ۰/۲۵، ۰/۳ و ۰/۳۵ به ترتیب تا جابه‌جایی نسبی ۲/۸، ۱/۳، ۱، ۰/۸ و ۰/۵ درصد دارای سختی مثبت و ازان به بعد دارای سختی منفی هستند.

کاهش مقاومت به ترتیب از سازه با نسبت نیروی پیش‌تنیدگی برابر ۰/۱۵ تا ۰/۳۵ مشاهده می‌شود. از آنجایی که با افزایش n_p از ۰/۱۵ تا ۰/۳۵ افزایش سختی بعد از الاستیک سازه قابل ملاحظه نیست، به نظر می‌رسد نسبت نیروی پیش‌تنیدگی برابر ۰/۱ تا ۰/۱۵ بهترین عملکرد مونوتونیک را برای پایه مورد بررسی تأمین نماید.

جدول ۴. لیست رکوردهای زلزله و ضرایب مقیاس به کاررفته

Earthquake	Station	Year	Magnitude (Mw)	PGA (g)	S.F.
Northridge-01	Beverly Hills - Mulhol Canyon Country-WLC	1994	6.7	0.52	1.12
Northridge-02	Duzce, Turkey	1999	7.1	0.82	0.93
Imperial Valley	Bolu	1979	6.5	0.35	1.74
Kobe, Japan	Delta	1995	6.9	0.24	2.8
Kocaeli, Turkey	Shin-Osaka	1999	7.5	0.36	1.21
Landers-01	Yermo Fire Station	1992	7.3	0.24	2.81
Landers-02	Yermo Fire Station	1992	7.3	0.24	2.94
Cape Mendocino	Rio Dell Overpass	1992	7.0	0.55	0.95
San Fernando	LA - Hollywood Stor	1971	6.6	0.21	3.82

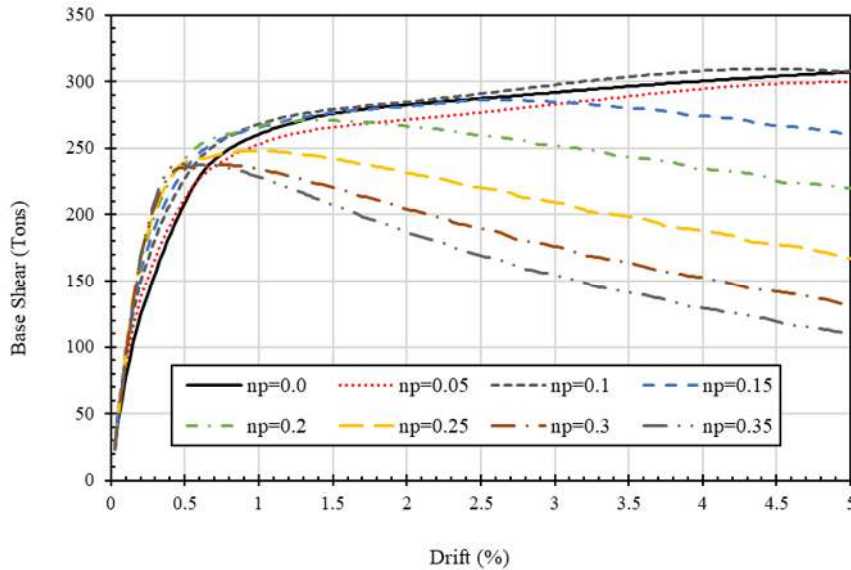
Table 4. List of ground motion records and their scale factors

۵- نتایج و بحث

۵-۱- رفتار مونوتونیک

شکل (۸) برش‌پایه بر حسب درصد جابه‌جایی نسبی را برای نسبت‌های مختلف نیروی پیش‌تنیدگی نشان می‌دهد. لازم به یادآوری است که نسبت بار ثقلی n_G در کلیه حالت‌ها ثابت و برابر ۰/۰۴ است. شیب منحنی‌های برش‌پایه به جابه‌جایی معرف سختی سازه است. با توجه به مدل‌سازی غیرخطی مورد استفاده، هر سازه در مراحل مختلف بارگذاری سختی‌های مختلفی از خود نشان می‌دهد که به آن‌ها در متن حاضر، «سختی الاستیک»، «سختی بعد از الاستیک^۱» و «سختی بعد از نقطه پیک» اطلاق می‌شود.

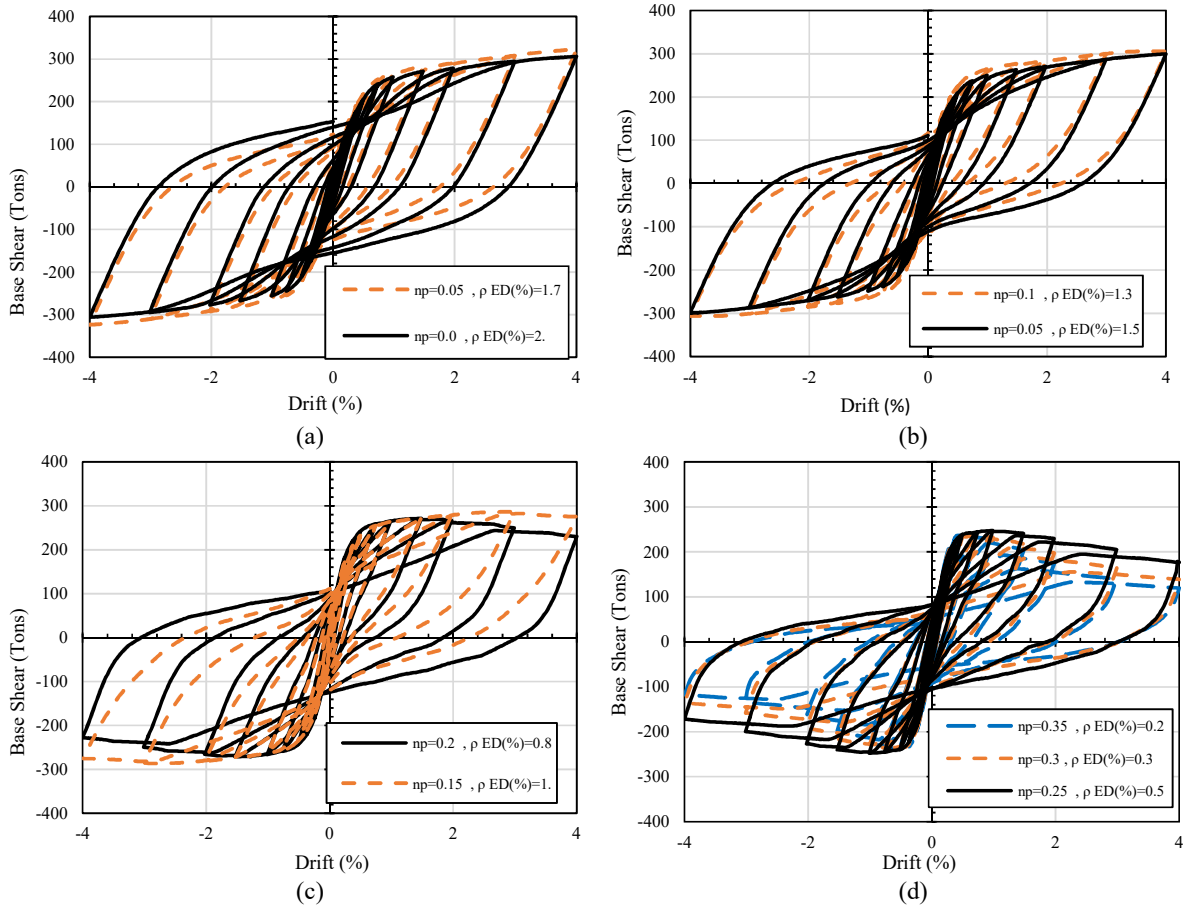
همان‌گونه که در شکل مشاهده می‌شود، افزایش نسبت نیروی پیش‌تنیدگی اعمالی (n_p) روی پایه‌ها با ثابت نگهداشت ن مقاومت اسمی آینه‌نامه‌ای، سختی بعد از الاستیک را افزایش می‌دهد. همچنین، افزایش نسبت نیروی پیش‌تنیدگی (n_p)، باعث کاهش جابه‌جایی نسبی در بیشینه بار جانی می‌شود. برای نسبت‌های پیش‌تنیدگی کوچک احتمال خردشدن بتن تا

شکل ۸ اثر افزایش نسبت نیروی پیش تینیدگی (n_p) بر رفتار مونوونیک پایه هاFig. 8. Effect of increasing n_p on the monotonic behavior of piers

کمتر نسبت به سازه با نسبت نیروی پیش تینیدگی برابر ۰/۱ است. به عبارت دیگر، افزایش نسبت پیش تینیدگی تا ۰/۱ منجر به کاهش مساحت حلقه های هیسترزیس یا کاهش جذب انرژی هیسترزیس ولی کاهش خسارت وارد به سازه می شود. در شکل (c-۹) رفتار دو سازه با نسبت های نیروی پیش تینیدگی برابر ۰/۱۵ و ۰/۲ با هم مقایسه می شود. همان گونه که در شکل (c-۹) مشاهده می شود، سازه با نسبت نیروی پیش تینیدگی برابر ۰/۲ دارای حلقه های هیسترزیس چاق تر یا اتلاف انرژی زلزله بیشتر، ولی جابه جایی نسبی پسماند بیشتر و مقاومت کمتر نسبت به سازه با نسبت نیروی پیش تینیدگی برابر ۰/۱۵ می باشد. به نظر می رسد که جابه جایی نسبی پسماند بیشتر و مقاومت کمتر سازه با نسبت نیروی پیش تینیدگی برابر ۰/۲ از سازه با نسبت نیروی پیش تینیدگی برابر ۰/۱۵ بخاطر اعمال نیروی پیش تینیدگی بیش از حد و به دنبال آن کرنش بالا و غیر خطی شدن بتن باشد. جابه جایی نسبی پسماند بیشتر، مقاومت کمتر و مشاهده شیب منفی پدیده هایی نامطلوب در دستیابی به هدف مرکزگرایی و کاهش خسارت هستند. بنابراین، هر چند مساحت حلقه های هیسترزیس در حالت n_p برابر ۰/۲ بزرگتر است، در مجموع، افزایش n_p از ۰/۱۵ به ۰/۲ مطلوب ارزیابی نمی شود.

۲-۵- رفتار چرخه ای

رفتار چرخه ای پایه های پیش ساخته مرکزگرا تا جابه جایی نسبی ۴ درصد با استفاده از چهار شاخص های مورد ارزیابی قرار گرفت: (۱) مقاومت حد اکثر، (۲) جابه جایی نسبی پسماند، (۳) مساحت حلقه های هیسترزیس، و (۴) شیب بعداز پیک. شکل (۹) منحنی های چرخه ای برش پایه بر حسب جابه جایی نسبی را برای نسبت های مختلف نیروی پیش تینیدگی (n_p) نشان می دهد. همان گونه که در شکل (a-۹) مشاهده می شود سازه با نسبت نیروی پیش تینیدگی برابر صفر دارای حلقه های هیسترزیس چاق تر، اتلاف انرژی زلزله بیشتر، ولی جابه جایی نسبی پسماند بیشتر نسبت به سازه با نسبت نیروی پیش تینیدگی برابر ۰/۰۵ است. همچنین مقدار مقاومت سازه با نسبت نیروی پیش تینیدگی برابر ۰/۰۵ از سازه با نسبت نیروی پیش تینیدگی صفر بیشتر است. هر سه پدیده از وجود نیروی پیش تینیدگی انتظار می روند؛ چرا که پیش تینیدگی با کاهش صدمه، میزان جذب انرژی هیسترزیس و همچنین تغییر شکل پسماند را کاهش می دهد. به دلیل مشابه، در شکل (b-۹) مشاهده می شود که سازه با نسبت نیروی پیش تینیدگی برابر ۰/۰۵ دارای حلقه های هیسترزیس چاق تر یا اتلاف انرژی زلزله بیشتر، جابه جایی نسبی پسماند بیشتر و مقاومت

شکل ۹. مقایسه رفتار چرخه‌ای پایه‌ها در نسبت‌های مختلف نیروی پیش‌تندیگی (n_p)Fig. 9. Comparison between cyclic behavior of piers in different prestressing force ratios (n_p)

پیش‌تندیگی از صفر تا ۰/۱ بهبود یافته ولی از ۰/۱۵ به بعد دچار خداشمه می‌شود. برهمین اساس، وقتی از سازه با نسبت نیروی پیش‌تندیگی حدود ۰/۱ تا ۰/۱۵ استفاده شود، مطلوب‌ترین رفتار چرخه‌ای حاصل می‌شود.

۵-۳- رفتار دینامیکی

تاریخچه جابه‌جایی نسبی پایه‌های بتنی پیش‌ساخته مرکزگرا برای رکوردهای Northridge-01 و Cape Mendocino برابر نسبت نیروی پیش‌تندیگی برابر ۰/۱، ۰/۰ و ۰/۳۵ و به عنوان نمونه در شکل (۱۰) نشان داده شده است. نسبت میرایی برای هر مود نوسان برابر ۰/۵ است.

اثر پارامترهای طراحی روی جابه‌جایی نسبی پسماند و جابه‌جایی نسبی حداقل پایه‌ها در شکل (۱۱) ارائه شده است. همان‌گونه که در شکل (۱۱) مشاهده می‌شود، افزایش نسبت

در شکل (۹-د) رفتار سه سازه با نسبت‌های نیروی پیش‌تندیگی برابر ۰/۲۵، ۰/۳ و ۰/۳۵ مقایسه شده است. همان‌گونه که در شکل مشاهده می‌شود، با افزایش نسبت نیروی پیش‌تندیگی به میزان بیشتر از ۰/۲۵ مساحت حلقه‌های هیسترزیس و مقاومت سازه کاهش می‌یابد؛ هرچند که جابه‌جایی نسبی پسماند هر سه سازه تقریباً برابر است. این رفتار نامطلوب نیز به ورود هرچه بیشتر بتن به ناحیه غیرخطی فشاری با افزایش نسبت نیروی پیش‌تندیگی مرتبط می‌باشد. همچنین مشاهده می‌شود که در صورت کاربرد نسبت نیروی پیش‌تندیگی برابر با ۰/۱۵ و بیشتر از آن، در جابه‌جایی نسبی بیشتر از حدود ۳ درصد منحنی‌های هیسترزیس شبیه منفی از خود نشان می‌دهند که به معنای افزایش شدید احتمال ناپایداری دینامیکی و فرو ریزش سازه است.

در مجموع، رفتار چرخه‌ای سازه با افزایش نسبت نیروی

کرنش بتن محصور شده متناظر با حداکثر مقاومت فشاری (برابر با $0,0054$) با خطچین افقی نشان داده شده است. همان‌گونه که در شکل مشاهده می‌شود، با افزایش نسبت نیروی پیش‌تینیدگی حداکثر کرنش بتن فشاری در طی بارگذاری زلزله زیاد می‌شود. با افزایش n_p تا $0,15$ آهنگ تغییر کرنش کم بوده ولی از $0,15$ به بعد، آهنگ تغییر کرنش زیاد می‌شود؛ تا جایی که حداکثر کرنش بتن فشاری از کرنش نقطه پیک عبور می‌کند و سازه رفتار نامطابقی از خود نشان می‌دهد.

شکل ۱۱. اثر افزایش نسبت نیروی پیش‌تینیدگی بر جابه‌جایی نسبی

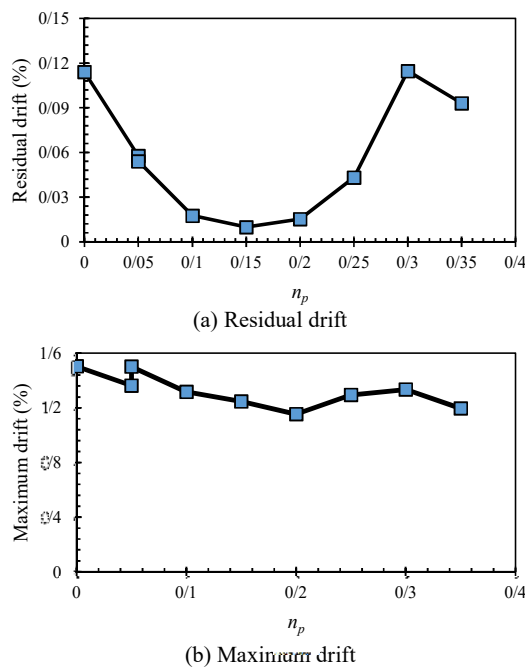


Fig. 11. Effect of increasing prestressing force ratio on drift

شکل (b-۱۲) کرنش بیشینه و پسماند تاندون را به صورت تابعی از نسبت نیروی پیش‌تینیدگی نشان می‌دهد. همان‌گونه که مشاهده می‌شود، با افزایش نسبت نیروی پیش‌تینیدگی، کرنش بیشینه و پسماند تاندون پیش‌تینیدگی کم می‌شود؛ البته در مجموع حساسیت کرنش بیشینه و پسماند تاندون پیش‌تینیدگی به نسبت نیروی پیش‌تینیدگی در رکوردهای مختلف زلزله زیاد نبوده است. به نظر می‌رسد که افزایش سطح مقطع کلی فولاد سبب کاهش کرنش حداکثر تاندون می‌شود، ولی کرنش پسماند تاندون به مساحت کلی فولاد حساسیت کمتری دارد.

پیش‌تینیدگی تا $0,15$ به کاهش جابه‌جایی نسبی پسماند منجر می‌شود و پس از آن دوباره باعث افزایش جابه‌جایی نسبی پسماند می‌شود؛ به گونه‌ای که حداقل جابه‌جایی نسبی پسماند پایه‌ها در نسبت نیروی پیش‌تینیدگی بین $0,1$ و $0,2$ مشاهده می‌شود. در عین حال، با توجه به شکل (b-۱۱)، جابه‌جایی نسبی حداکثر برای نسبت‌های نیروی پیش‌تینیدگی مختلف تقریباً ثابت است و از $1/5$ درصد تجاوز نمی‌کند. در توصیف تغییرات کوچک مشاهده شده، به نظر می‌رسد که در نسبت نیروی پیش‌تینیدگی کمتر از $0,2$ ، افزایش نسبت نیروی پیش‌تینیدگی که همزمان با افزایش درصد فولاد کلی صورت می‌گیرد، سبب کاهش جابه‌جایی نسبی حداکثر می‌شود. در نسبت نیروی پیش‌تینیدگی بیشتر از $0,2$ ، افزایش نسبت نیروی پیش‌تینیدگی مختلف با کاهش مساحت کلی فولاد بوده و سبب افزایش جابه‌جایی نسبی حداکثر می‌شود.

شکل ۱۰. مقایسه تاریخچه جابه‌جایی نسبی برای نسبت‌های مختلف پیش‌تینیدگی

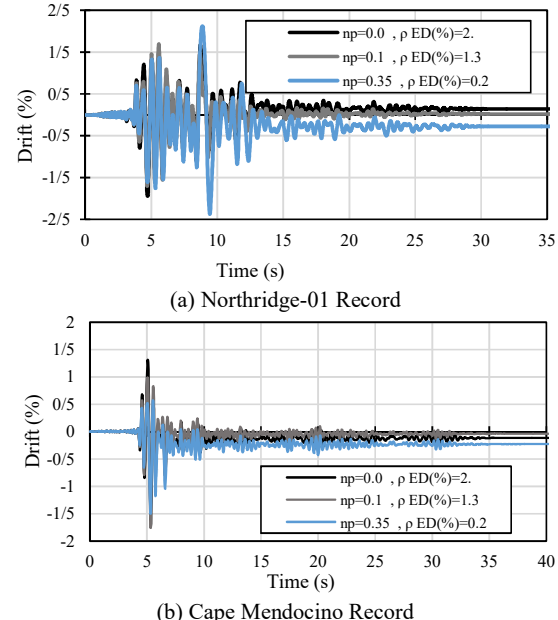


Fig. 10. Comparison between drift histories with different pre-stressing force ratios

شکل (a-۱۲) بیشترین کرنش بتن فشاری را به صورت تابعی از نسبت نیروی پیش‌تینیدگی (n_p) نشان می‌دهند. در این شکل،

- در مطالعه حاضر، با توجه به جابه‌جایی نسبی پسماند، نسبت پیشنهادی نیروی پیش‌تندیگی (n_p) برای حالت‌های بارگذاری چرخه‌ای و دینامیکی برای افزایش قابلیت مرکزگرایی سازه حدود ۰/۱۵ تا ۰/۱۵ ارزیابی شد.
- با توجه به شبیه قسمت اول منحنی‌های هیسترزیس، آثار مثبت پیش‌تندیگی بر رفتار پایه‌های پیش‌ساخته در به تاخیر اندختن ترک خوردگی بتن مشاهده می‌شود.
- در صورت کاربرد نسبت نیروی پیش‌تندیگی (n_p) برابر ۰/۱۵ و بیشتر از آن، منحنی‌های هیسترزیس در جابه‌جایی‌های نسبی بالا شبیه منفی از خود نشان می‌دهند که به معنای افزایش شدید احتمال ناپایداری دینامیکی و فرو ریزش سازه است.
- مساحت حلقه‌های هیسترزیس از نسبت نیروی پیش‌تندیگی (n_p) بیشتر از حدود ۰/۱۵ شروع به کاهش می‌کند.
- در بارگذاری چرخه‌ای، تا جابه‌جایی نسبی ۴ درصد تسلیم تاندون‌ها مشاهده نشد. با افزایش نسبت نیروی پیش‌تندیگی علاوه بر اینکه تاندون از کرنش تسلیم دورتر می‌شود، کرنش نهایی آن از کرنش اولیه نیز کمتر می‌شود. این به معنی ایجاد کرنش‌های بالاتر و رفتار غیرخطی در بتن بوده و می‌توان آن را به معنی اثر منفی پیش‌تندیگی در نسبت نیروی پیش‌تندیگی بالا دانست.
- بر اساس مشاهدات این مطالعه، نسبت نیروی پیش‌تندیگی (n_p) روی سختی کلی سازه و در نتیجه بیشترین جابه‌جایی نسبی تاثیر قابل توجهی ندارد.

شکل ۱۲. اثر نسبت نیروی پیش‌تندیگی بر روی کرنش‌های بتن و فولاد

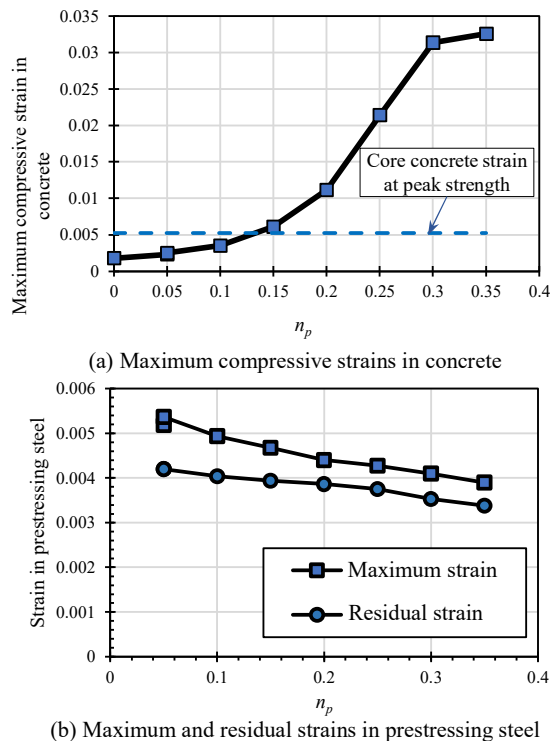


Fig. 12. Effect of prestressing force ratio on strains in concrete and prestressing steel.

۶- نتیجه‌گیری

برای بررسی رفتار لرزه‌ای پایه‌های بتنی پیش‌ساخته مرکزگرا، مدل‌سازی این پایه‌ها در نرم‌افزار OpenSees انجام شد. برای مدل‌سازی از المان‌های رشتہ‌ای با مصالح غیرخطی فولاد و بتن برای مقاطعه بتنی و المان‌های خرپایی با مصالح پیش‌تندیگی برای تاندون‌ها استفاده شد. به منظور مطالعه پارامتری عوامل موثر بر پاسخ لرزه‌ای پایه‌های پیش‌ساخته مرکزگرا، ۹ پایه سگمنتی با درصدهای مختلف نیروی پیش‌تندیگی و فولاد نرمه با مقاومت خمی اسماعی تقریباً یکسان طراحی شد. این مجموعه برای طیف طرح در منطقه لس آنجلس واقع بر خاک نوع D و براساس آین نامه‌ی آشتو طراحی شدند. این ۹ طرح تحت بارگذاری‌های مونوتونیک، چرخه‌ای و دینامیکی تاریخچه زمانی قرار داده شد. پارامترهای رفتار لرزه‌ای، شامل جابه‌جایی نسبی پسماند و حداکثر، کرنش پسماند و کرنش حداکثر در فولاد پیش‌تندیگی و کرنش حداکثر فشاری در بتن مورد بررسی قرار گرفتند. نتایج اصلی به دست آمده به شرح زیر است:

-۷ مراجع

- 1- Hewes JT and Priestley MJN, Seismic design and performance of precast concrete segmental bridge columns, San Diego: *Report No. UCSD/SSRP-2001/25*, University of California, 2002.
- 2- Ou YC, Chiewanichakorn M, Aref AJ, Lee GC, "Seismic performance of segmental precast unbonded posttensioned concrete bridge columns," *ASCE J Struct Eng*, No. 133:1636–47, 2007.
- 3- Wang JC, Ou YC, Chang KC, Lee GC, "Large-scale seismic tests of tall concrete bridge columns with precast segmental construction," *Earthquake Eng Struct*, No. 37:1449–65, 2008.
- 4- Ou YC, Wang PH and Tsai MS, et al., "Large-scale experimental study of precast segmental unbonded posttensioned concrete bridge columns for seismic regions," *Journal of Structural Engineering*, No. 136: 255-264., 2010a.
- 5- Ou YC, Tsai MS, Chang KC, Lee GC, "Cyclic behavior of precast segmental concrete bridge columns with high performance or conventional steel reinforcing bars as energy dissipation bars," *Earthquake Eng Struct Dyn*, No. 39:1181–98, 2010b.
- 6- Dawood, H., Elgawady, M., and Hewes, J., "Factors affecting the seismic behavior of segmental precast bridge columns," *Front. Struct.Civil Eng.*, No. 8(4), 388–398., 2014.
- 7- Salehi, M., Sideris, P., & Liel, A. B, "Numerical simulation of hybrid sliding-rocking columns subjected to earthquake excitation," *Journal of Structural Engineering*, No. 143(11), 04017149, 2017.
- 8- Cai, Z. K., Zhou, Z., & Wang, Z, "Influencing factors of residual drifts of precast segmental bridge columns with energy dissipation bars," *Advances in Structural Engineering*, No. 22(1), 126-140, 2019.
- 9- Cohagen, L. S., Pang, J. B. K., Eberhard, M. O., and Stanton, J. F., A precast concrete bridge bent designed to re-center after an earthquake, Washington, DC.: *Report-Washington State Dept. of Transportation*, 2008.
- 10- Lee WK, Billington SL, "Modeling residual displacements of concrete bridge columns under earthquake loads using fiber elements," *J Bridge Eng*, No. 15:240–9, 2009.
- 11- Bu, Z. Y., Ding, Y., Chen, J., & Li, Y. S., "Investigation of the seismic performance of precast segmental tall bridge columns," *Structural Engineering and Mechanics*, No. 43(3), 287-309., 2012.
- 12- Schaefer, J., Kennedy, B., Stanton, J. F., and Eberhard, M. O., Unbonded pretensioned bridge columns with rocking detail, *Report: University of Washington*, 2013.
- 13- Sideris P, Aref AJ, Filiatrault A, "Large-scale seismic testing of a hybrid slidingrocking posttensioned segmental bridge system," *Journal of Structural Engineering*, No. 140:04014025, 2014b.
- 14- Bu, Z. Y., Ou, Y. C., Song, J. W., Zhang, N. S., & Lee, G. C., "Cyclic loading test of unbonded and bonded posttensioned precast segmental bridge columns with circular section," *Journal of Bridge Engineering*, No. 21(2), 04015043., 2015.
- 15- Thonstad, T., Mantawy, I., Stanton, J. F., Eberhard, M. O., and Sanders, "Shaking table performance of a new bridge system with pretensioned, rocking columns," *ournal of Bridge Engineering*, No. 21(4), 04015079., 2016.
- 16- Mantawy, I. M., Thonstad, T., Sanders, D. H., Stanton, J. F., & Eberhard, M. O, "Seismic performance of precast, pretensioned, and cast-in-place bridges: Shake table test comparison," *Journal of Bridge Engineering*, No. 21(10), 04016071, 2016.
- 17- Davis PM, Janes TM, Haraldsson OS, Eberhard MO, Stanton JF., "Unbonded Pretensioned Columns for Accelerated Bridge Construction in Seismic Regions," *Journal of Bridge Engineering*, No. 3:04017003, 2017.
- 18- Thonstad, T., Kennedy, B. J., Schaefer, J. A., Eberhard, M. O., & Stanton, J. F, "Cyclic Tests of Precast Pretensioned Rocking Bridge-Column Subassemblies," *Journal of Structural Engineering*, No. 143(9), 04017094, 2017.
- 19- Lufeng Zhao, Kaiming Bi , Hong Hao , Xiaozhen L, "Numerical studies on the seismic responses of bridge structures with precast segmental columns," *Engineering Structures*, 2017.
- 20- Wang, Z., Wang, J. Q., & Liu, T. X., "Axial compression ratio limit for self-centering

- precast segmental hollow piers," *Structural Concrete*, No. 18(5), 668-679., 2017.
- 21- Ou, Yu-Chen, Ade Yuniati Pratiwi, and Jianwei Song., "Pseudodynamic Testing and Inelastic Displacement Ratios of Self-Centering Precast Concrete Segmental Bridge Columns," *Journal of Structural Engineering*, No. 144, No. 9 : 04018158., 2018.
- 22- Wang, Z., Wang, J. Q., Liu, T. X., & Zhang, J., "An explicit analytical model for seismic performance of an unbonded post-tensioned precast segmental rocking hollow pier," *Engineering Structures*, No. 161, 176-191., 2018.
- 23- Ahmadi E, Kashani MM., "Numerical investigation of nonlinear static and dynamic behaviour of self-centring rocking segmental bridge piers," *Soil Dyn Earthq Eng*, No. 128:105876., 2020.
- 24- Jia, J., Zhang, K., Wu, S., Guo, Y., Du, X., & Wang, X. (2020). "Seismic performance of self-centering precast segmental bridge columns under different lateral loading directions," *Engineering Structures*, 221, 111037.
- 25- Wang, Z., Wang, J., Zhu, J., Zhao, G., & Zhang, J. (2020). "Energy dissipation and self-centering capacities of posttensioning precast segmental ultra-high performance concrete bridge columns," *Structural Concrete*, 21(2), 517-532.
- 26- Liu, X., Li, J., Tsang, H. H., Wang, J., & Zhong, J. (2020). "Experimental evaluation of seismic performance of unbonded prestressed reinforced concrete column," *Engineering Structures*, 208, 109913.
- 27- Zhang, D., Li, N., & Zhang, S. (2021). "Energy dissipation and resilience of precast segmented concrete-filled steel tube self-centering column: Parameter study and design methodology," *Engineering Structures*, 244, 112747.
- 28- Tong, T., Yuan, S., Zhuo, W., & Liu, Z. (2021). "Experimental and numerical investigations on cyclic behaviors of precast segmental bridge piers with the hybrid of high-strength bars and unbonded prestressing tendons," *Advances in Structural Engineering*, 24(3), 509-521.
- 29- Zhang, Y., Li, Y., Fan, W., & Dias-da-Costa, D. (2022). "Seismic damage and assessment model analysis of prestressed segmental bridge columns," *Structures*, 38, 797-807.
- 30- Dawood H, ElGawady M and Hewes J, "Behavior of segmental precast posttensioned bridge piers under lateral loads," *Journal of Bridge Engineering*, No. 17: 735-746, 2012.
- 31- Chang, G.A., and Mander, J.B., Seismic Energy Based Fatigue Damage Ananlysis of Bridge Columns: Part 1 – Evaluation of Seismic Capacity, Buffalo, N.Y.: NCEER Technical Report No. NCEER-94-0006, State University of New York, 1994.
- 32- Waugh, J., "Nonlinear analysis of T-shaped concrete walls subjected to multi-directional displacements," PhD Thesis, Iowa State University, IA., 2009.
- 33- Mazzoni S, McKenna F and Scott HM, et al., Open system for earthquake engineering simulation (OpenSees) command language manual., University of California, Berkeley: Pacific Earthquake Engineering Research Center (PEER)., 2009.
- 34- Mander JB, Priestley MJN and Park R, "Theoretical stress-strain model for confined concrete," *Journal of Structural Engineering*, No. 114: 1804-1826., 1988.
- 35- Zhao J and Sridharan S, "Modeling of strain penetration effects in fiber-based analysis of reinforced concrete structures," *ACI Structural Journal*, No. 104: 133-41., 2007.
- 36- AASHTO., "AASHTO LRFD Bridge Design Specifications," American Association of State Highway and Transportation Officials, Washington, D.C., 2017.
- 37- Applied Technology Council (ATC) "Quantification of building seismic performance factors," *FEMA, US Department of Homeland Security*, 2009.
- .

Seismic Behavior of Precast Self-Centering Bridge Piers

Milad Sam Daliri¹, Hossein Yousefpour^{2*}, Horr Khosravi³

1- M.Sc. in Structural Engineering, Babol Noshirvani University of Technology, Iran.

2- Assistant Professor, Babol Noshirvani University of Technology, Iran.

3- Associate Professor, Babol Noshirvani University of Technology, Iran.

*hyousefpour@nit.ac.ir

Abstract

Accelerated construction methods are extensively used worldwide to reduce the negative impacts of bridge construction on urban traffic. These methods usually require prefabricating parts of the bridge off site, which reduces on-site construction time and improves the quality and safety of construction. While the use of precast elements for bridge superstructure is relatively common, using precast elements for bridge piers is a recent development, especially in high-seismicity regions. Prefabrication of bridge piers can further expedite the construction of bridges. Moreover, the use of precast elements can be combined with a self-centering capability, through which the earthquake-induced damage and cost of post-earthquake repairs are greatly reduced. Despite a number of previous numerical and experimental studies on the behavior of precast, self-centering bridge piers, limited information is available on the selection of design parameters for such piers, and important decisions such as the prestressing force needed to achieve suitable seismic behavior remains to a large extent uncertain. This study aims to investigate the seismic behavior of concrete bridges consisting of precast self-centering piers, in which unbonded, post-tensioned tendons are used for self-centering and reinforcing steel is used to dissipate earthquake energy. A numerical model was developed in OpenSees to simulate the behavior of concrete bridges consisting of precast self-centering piers. The model consisted of fiber elements to model concrete and mild steel, as well as truss elements to model unbonded post-tensioning steel. The model also involved the use of zero-length sections to model the bond-slip behavior of mild steel bars. The modeling approach was validated based on experimental results available in the literature on cyclic loading of four bridge piers. To evaluate the effects of various design parameters on the behavior of precast segmental bridge piers, 9 segmental piers with different percentages of prestressing force and reinforcing steel were designed according to 2017 AASHTO LRFD Bridge Design Specifications. All piers were designed to possess similar nominal flexural capacities. The piers were then subjected to monotonic, cyclic, and dynamic time history analyses. The results showed the positive effects of prestressing in delaying cracking and reducing the residual drifts of precast bridge piers. Increasing the prestressing force ratio up to 10 percent of compressive strength of the pier cross section was observed to improve the overall seismic behavior of the structure, above which a further increase in the prestressing level may result in a diminished performance. The optimal value for the prestressing force ratio, which resulted in the most desirable behavior for cyclic and dynamic loadings was therefore found between 0.1 and 0.15. In piers with a prestressing ratio above 0.15, a decrease was observed in the area of hysteresis loops, which was accompanied by negative stiffness of the base shear versus drift curve. Moreover, the residual drift of the pier increased when prestressing ratios greater than 0.15 were used. The maximum drift of the structure was found to be insensitive to the prestressing force ratio. The results of this study are of great value for optimal design of precast, self-centering bridge piers in high-seismicity regions.

Keywords: Accelerated bridge construction, Concrete bridges, Bridge piers, Prefabricated, Self-centering.